

京都大学大学院 学生会員 安東 尚美  
 京都大学防災研究所 正会員 芦田 和男  
 京都大学防災研究所 正会員 江頭 進治

### 1. まえがき

山地河川においては、一般に、階段状の河床形が形成されるのが見られる。ステップ部には最大粒径程度の段差があり、その近傍には大小さまざまな石の咬み合いで、これが川の横断方向に連なっている。山地河川における土砂流出は、こうした河床形の形成と破壊、それに伴う流路変動などとして、量的にも大きな影響を受けていることが知られている。<sup>1)</sup> 階段状河床形の形成や形状特性については、これまでに、反砂堆、<sup>2), 3)</sup> 鮑行波長および河床砂礫の分級機構との関連性を調べた研究があるが、まだ統一的見解が得られるに至っていない。このように、階段状河床形の形状特性、水理特性、およびその形成と破壊条件についてはほとんど明らかにされていないのが実状である。さて、河床河川における階段状河床形の形成・発達には、粒径・水深・川幅スケールの水流の擾乱による掻き力分布とそれに伴う河床砂礫の移動・停止や分級が深くかかわっているものと思われる。ここでは、砂礫の分級過程と流れのレジームに着目して、階段状河床形の形成条件と形状特性に關して若干の実験的検討を行なう。

### 2. 実験方法・条件

実験は、長さ4m、幅20cm、深さ17cmの水路を用いて、図1に示す実験用砂を厚さ10cmに敷きつめ、下流端をせきで固定し、給砂口、妻口に示すような水理条件で行なった。流量は、一定のものと、RUN 5, 6 のようにステップ状に与えたものとがあり、いずれも最大径の移動限界流量  $Q_c$  以下に設定されている。なお、灌水初期の実験領域は、upper flow regime でしかも砂洲の形成領域になっていた。

### 3. 実験結果の考察

①形成・発達機構 図1は、RUN 5における河床の表層、下流端流砂の粒度分布および下流端流砂量の時間変化を示したものである。図2は、水位・河床の縦断形、図3は最深河床のスペクトルをMEMによって求めた結果である。階段状河床形の形成機構は、着目するスケールによって異なる。まず、RUN 5の結果をもとに、水深スケールの形成機構について考察してみる。流砂の粒度分布を見ると、河床構成材料のうちの90%粒径よりも大きい砂礫は流出しないが、流量の変化前後とも流砂の大半は粒径2cmよりも小さいものから成っている。一方、水路全体の平均的なフルード数は1を越えており、灌水初期には流砂もかなり活発であることから考えて、少なくとも部分的にはupper regimeの河床波が形成され、それが掻き力の縦断分布ならびにこれに応じ

表1. 実験条件

RUN No.	通水初期粒度 Ibo (cm³/sec)	$Q_c$ (cm³/sec)	$Q$ (cm³/sec)	通水時間 $t_f$	最終粒度 $I_f$
3 1	0.1	3000	1760	16'00"	0.956
3 2	"	"	1760	13'00"	0.935
4 1	0.1	3000	663	14'39"	0.103
4 2	"	"	650	36'56"	0.103
5 1	0.1	3000	663	49'31"	0.953
5 2	"	"	1760	34'14"	0.888
6 1	0.15	1730	530	16'43"	0.151
6 2	"	"	827	28'35"	0.150
7 1	0.15	1730	827	33'14"	0.148
7 2	"	"	827	2'40'55"	0.149
8 1-U	0.15	1730	1500	51'29"	0.149
8 1-D	"	"	"	"	0.129

U:upstream D:down stream  $Q_c:d_{max}=3.81cm$

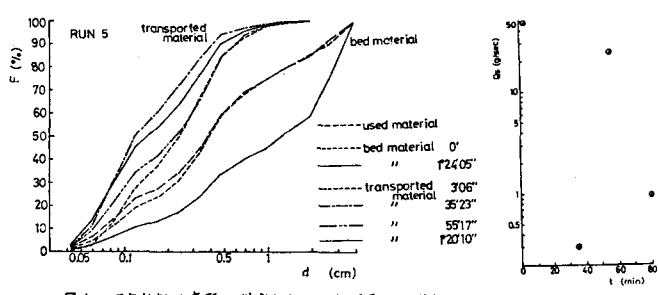


図1. 河底材料と流砂の粒度分布、流砂量の時間変化

RUN 5

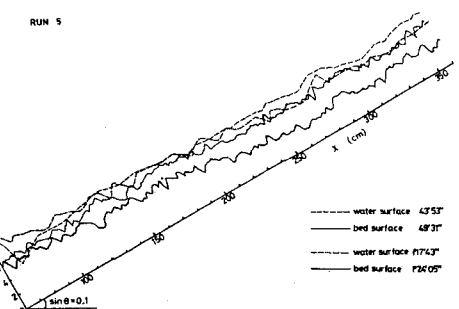


図2. 水位・河床位のスペクトル

た河床砂礫の移動と分級現象を規定しているものと思われる。このような構造を通じて階段状河床形が形成されるものと推察される。次に、発達機構について、図2,3 を対比しながら検討する。図2には、2段階の通水において、それぞれ河床砂礫の分級が終了し、ほぼ安定したときの河床形が示されているが、後半の通水において、ステップ構造はさらに明瞭になっていて、図3においても、後半の通水後には、特定波数のスペクトルのピークが前半よりもかなり顕著になっているのがわかる。以上より、河床波の発達には、河床砂礫の分級および砂礫の再移動が重要な要因になつてゐると思われる。

**②形狀特性** これまでの土砂水理学的知見によると、最も波数の小さいところのピークは、砂洲あるいは蛇行緩長  $L_m$  と密接な関係があることが推察される。水面幅を  $B_w$  とする、  $L_m$  は、一般に、

$$L_m = \alpha B_w$$

のように書けることが知られている。そこで、本実験の領域において  $\alpha$  がどの程度の範囲になつているかを調べると、 $I_{bo}=0.1$  の実験では  $\alpha=5\sim 7$ 、 $I_{bo}=0.15$  の実験では  $\alpha=8\sim 12$  程度になつていて、これらは、高橋の実験値よりもやや大きい。ただし、水路長が十分でなかったため、データの長さの面でかなり問題があり、 $I_{bo}$  による  $\alpha$  の値の違いや高橋の実験値との比較を厳密に議論するには若干の問題がある。

次に、水深スケールの現象に着目し、より高周波数域に現れる数個の、スペクトルの有義なピークについて検討する。蛇行スケールの低周波数域を除いて考えると、有義な波数域において計算した平均波数とスペクトルの最大ピーク波数とはほぼ一致することがわかった。そこで、蛇行スケールの低周波数域を除いたスペクトルの最大ピーク波数を代表波数と見なし、それとフルード数との関係を見たのが図4である。図中の曲線は、反砂堆に関する Kennedy の理論<sup>5)</sup>である。反砂堆に関する種々の実験値を急頭に置いて図4を見る、階段状河床形の代表波長は、反砂堆の波長とほぼ一致していることがわかる。

#### 4. おわりに

水深スケールの階段状河床形の形成・発達には、反砂堆の形成に伴う掃流力の分布とそれに応じた砂礫の分級や移動・停止が深くかかわることを推察した。波長は、反砂堆の波長とほぼ一致していることが示された。一方、砂洲あるいは蛇行スケールの階段状河床形の波長は、従来の実験値よりもやや大きめの値を得ているが、これについての検討は今後の課題である。

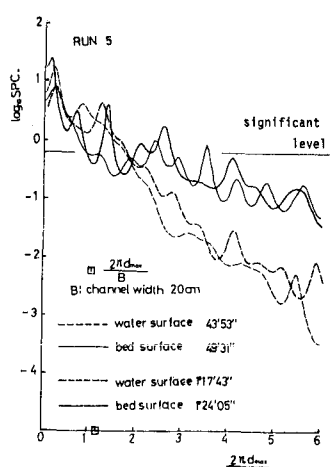


図3. 水位、河床位のスペクトル

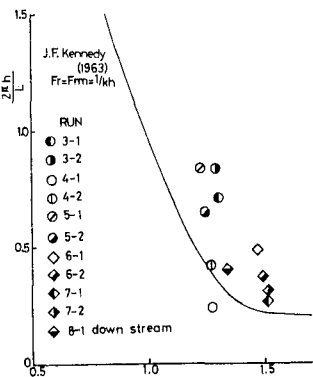


図4. 代表波数とフルード数との関係

#### 〈参考文献〉

- 1) 沢田・芦田・高橋; 第26回水理講演会論文集, 1982, pp105~110
- 2) Whittaker-Jaggi; Journal of Hydraulic Division, 1982, pp758~773
- 3) 高橋; 京大防災研年報25号B-2, 1982, pp343~347
- 4) 蘭田; 学位論文, 1980, p210
- 5) Kennedy; Journal of Fluid Mechanics, Vol 16, part 14, 1963, pp521~544